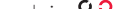
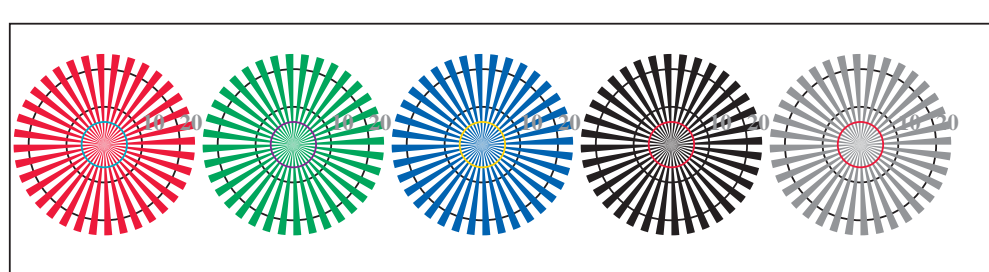


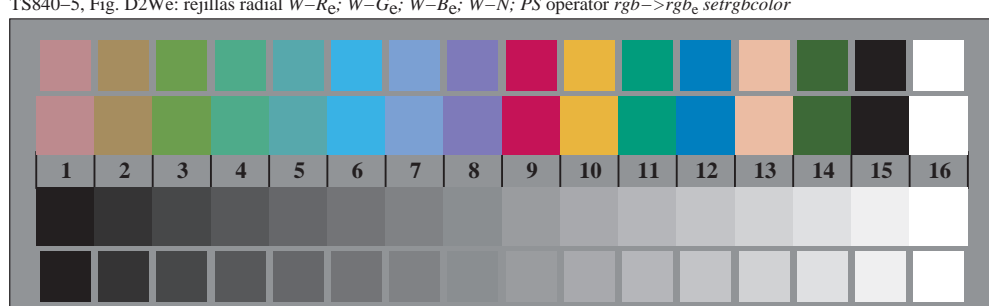
TS841-1, Fig. D4We: 16 equidistant steps  $W-Re$ ;  $W-Ge$ ;  $W-Be$ ;  $W-N$ ;  $rgb/cmy0->rgb_e$  setrgbcolor

+:-.		lmno		pqrs		tuvw	
xyz;		hijk		lmno		pqrs	
tuvwxyz		defg		hijk		lmno	
pqrs		!abc		+:-.		xyz;	
lmno		+:-.		tuvwxyz		tuvwxyz	
hijk		xyz;		defg		defg	
defg		tuvwxyz		!abc		!abc	
!abc		pqrs		6	N R <sub>e</sub> G <sub>e</sub> B <sub>e</sub> Z		
10	N R <sub>e</sub> G <sub>e</sub> B <sub>e</sub> Z	8	N R <sub>e</sub> G <sub>e</sub> B <sub>e</sub> Z				

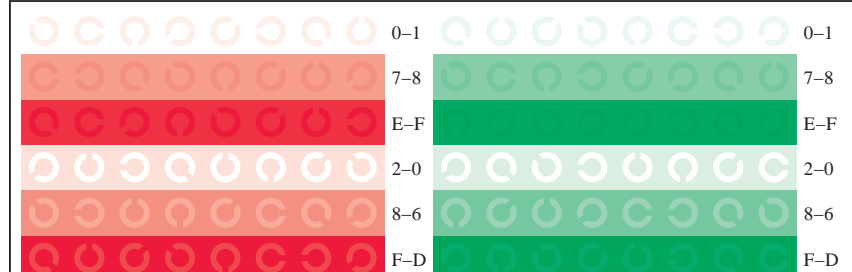
TS841-3, Fig. D5We: codigo y Landolt annilosN;  $Re$ ;  $Ge$ ;  $Be$ ;  $Z$ ;  $PS$  operator  $rgb \rightarrow rgb_e$  setrgbcolor



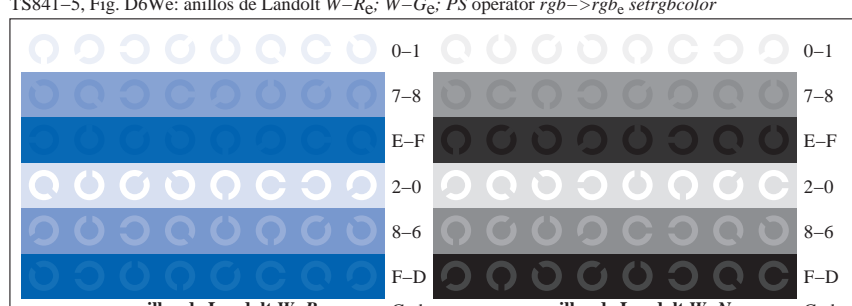
rejillas radial  $W-R_e$     rejillas radial  $W-G_e$     rejillas radial  $W-B_e$     rejillas radial  $W-N$     r



TS840-7 Fig. D3We: CIE 14 colores del test y 2 + 16 pasos de gris (sf):  $rgb/cmy0 \rightarrow reh_0$ , setrgbcolor



anillos de Landolt W- $R_e$  Code anillos de Landolt W- $C$



TS841-7 Fig. D7We: anillos de Landolt  $W-B_e$ ;  $W-N$ : PS operator  $rgh \rightarrow rgh$ , setrehcolor.